FIG. 1

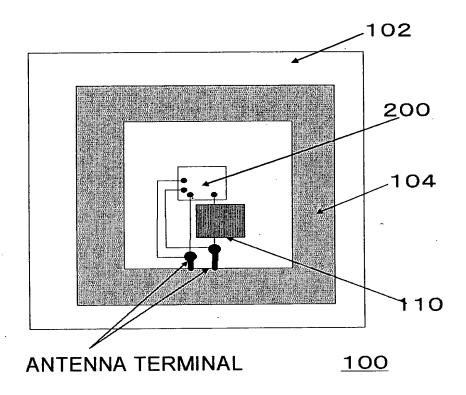


FIG. 2.

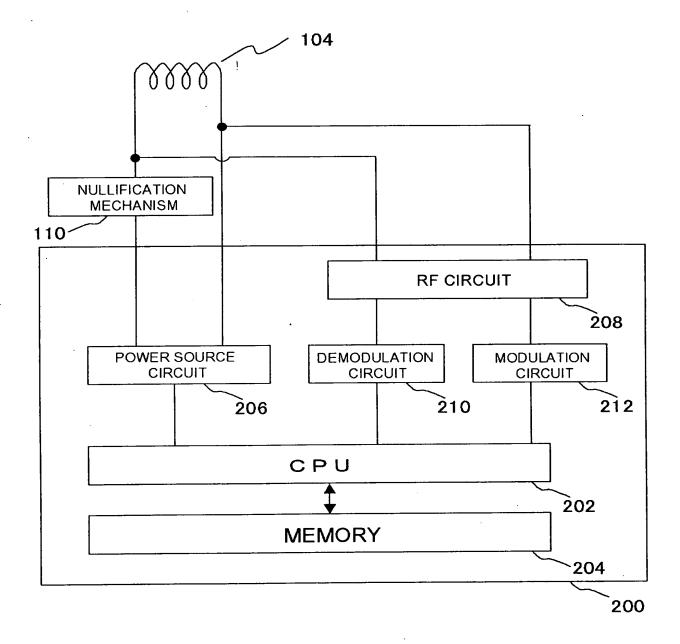


FIG. 3

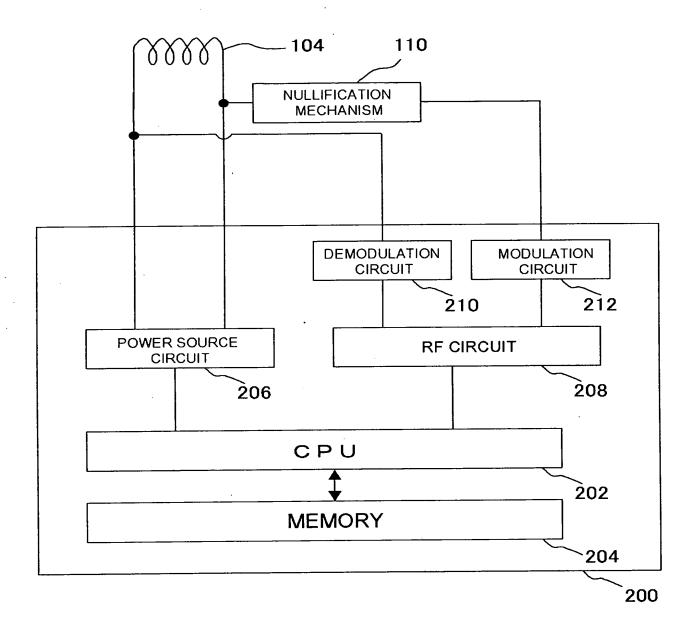


FIG. 4

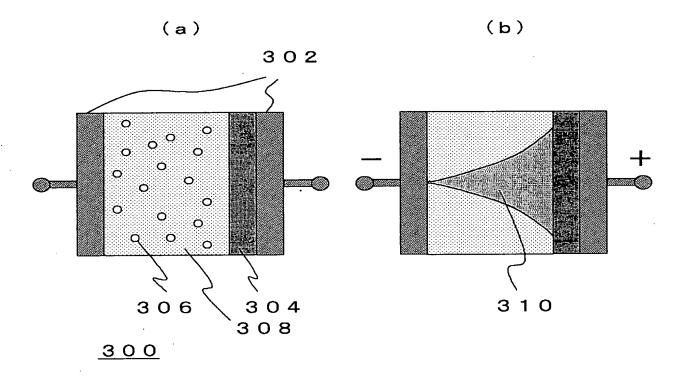


FIG. 5

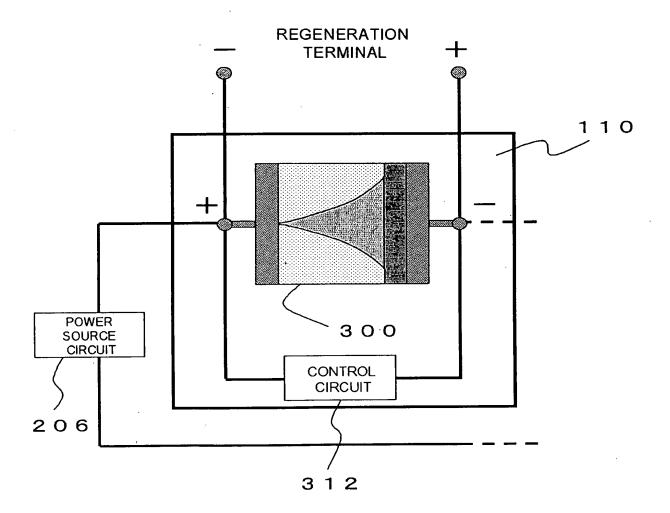


FIG. 6

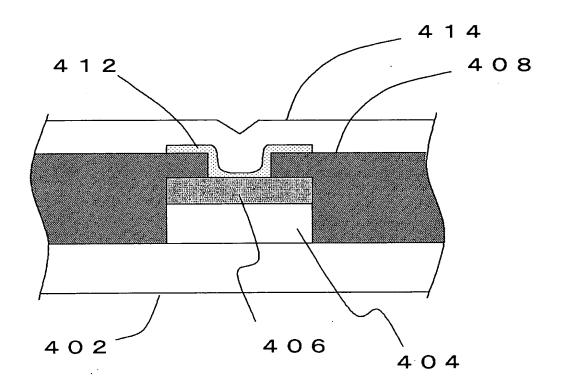
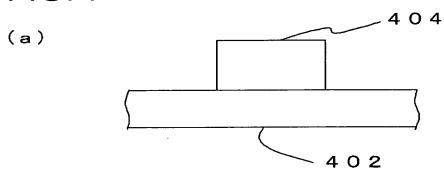
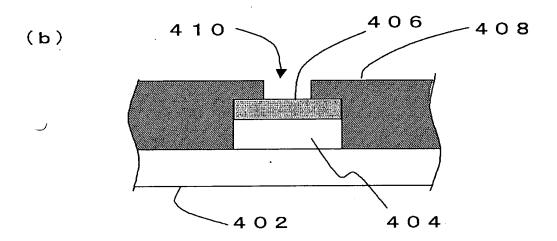


FIG. 7





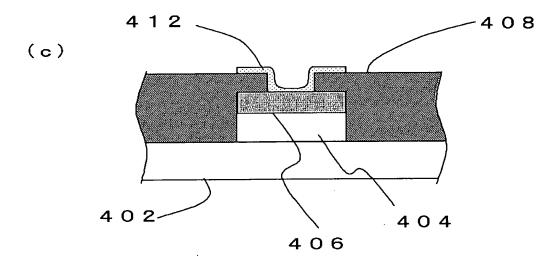


FIG. 8

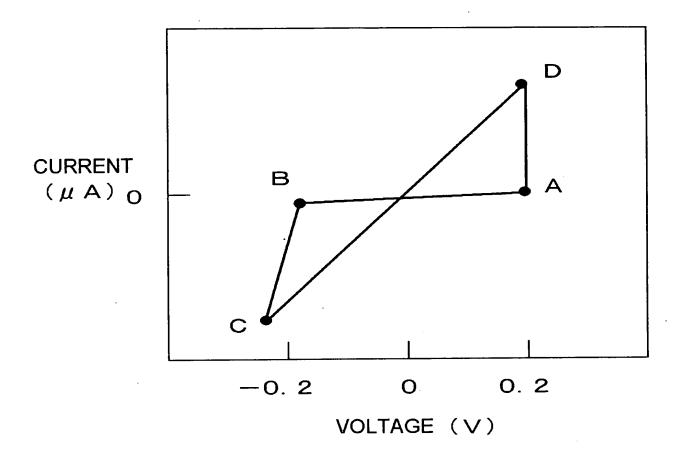
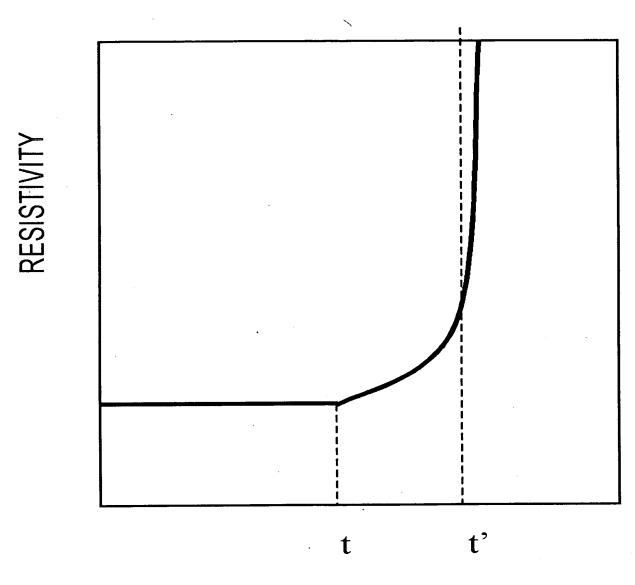


FIG. 9



TIME

FIG. 10

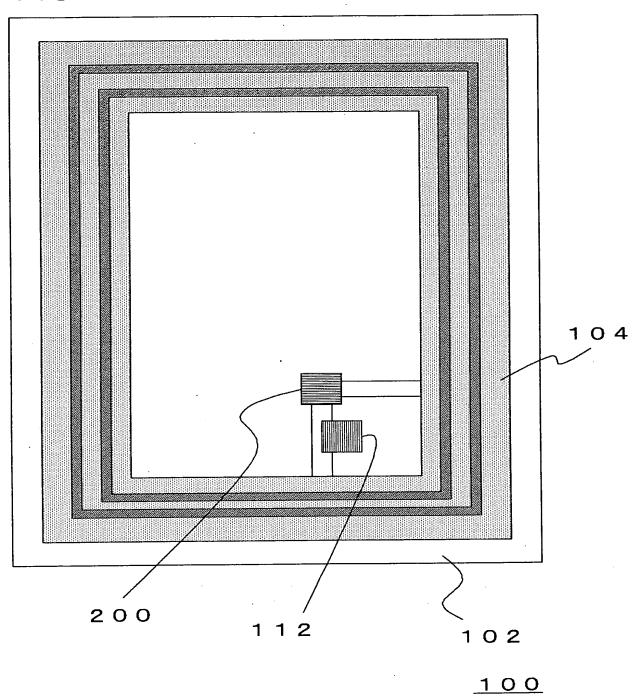


FIG. 11

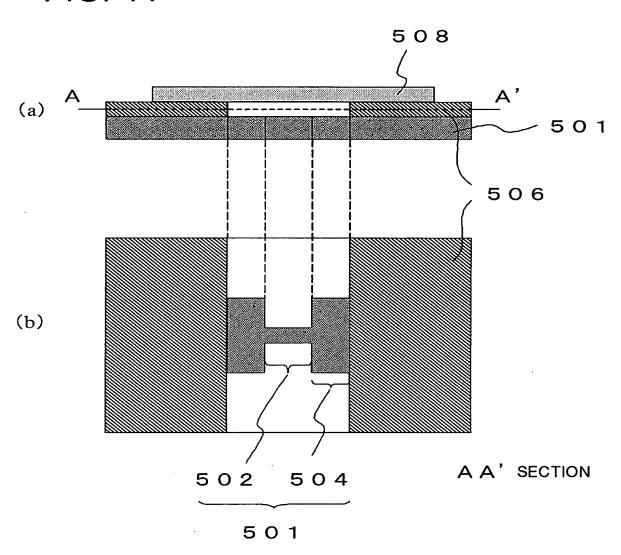


FIG. 12

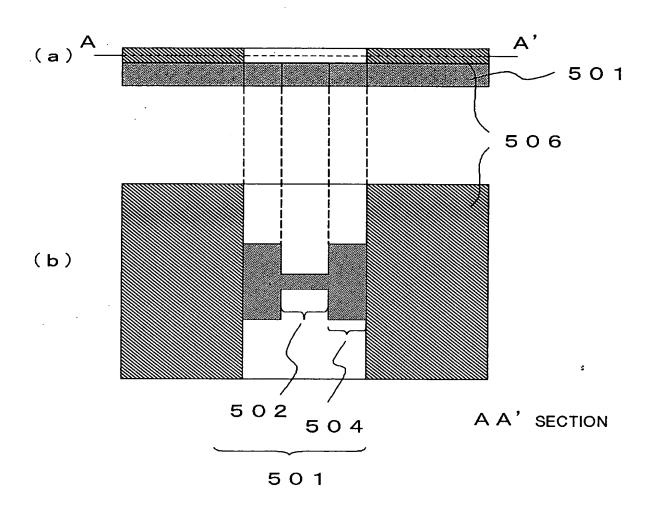


FIG. 13

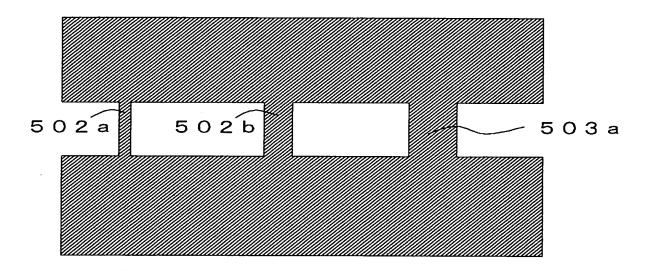


FIG. 14

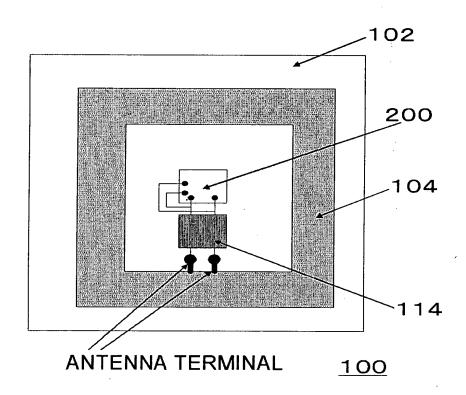


FIG. 15

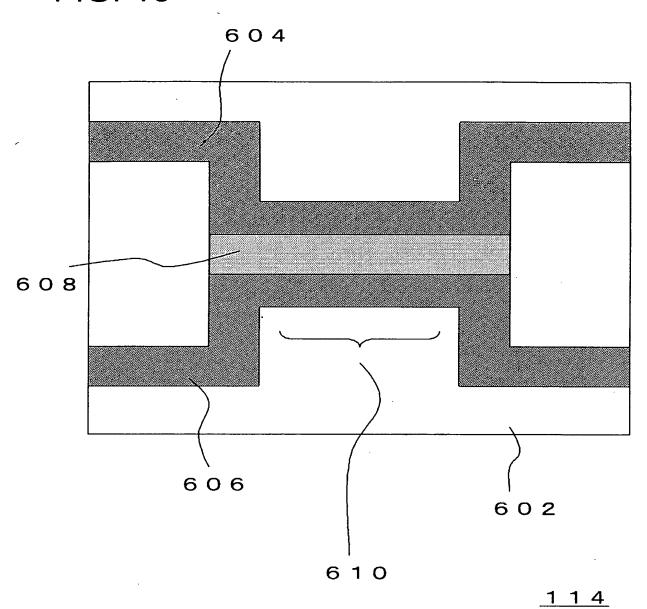


FIG. 16

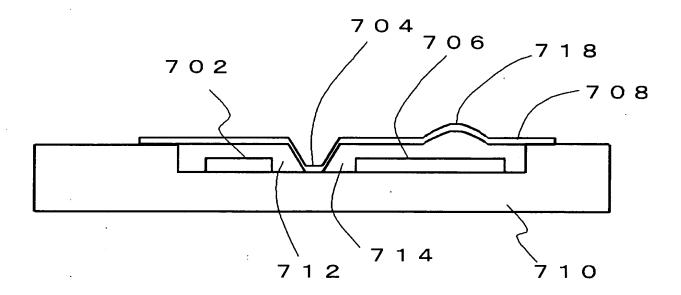


FIG. 17

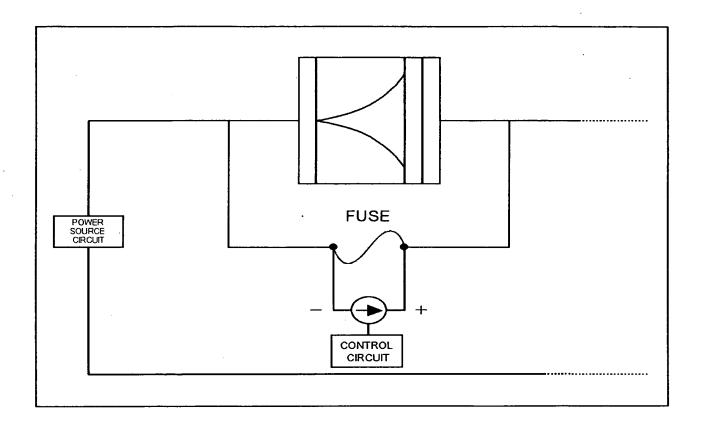


FIG. 18

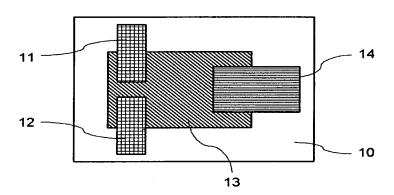


FIG. 19

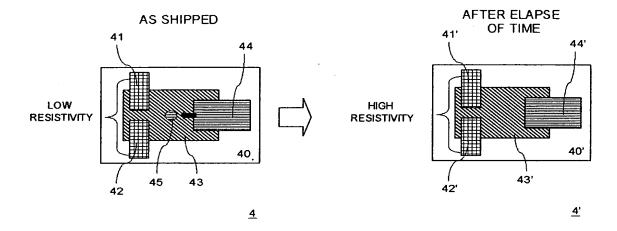
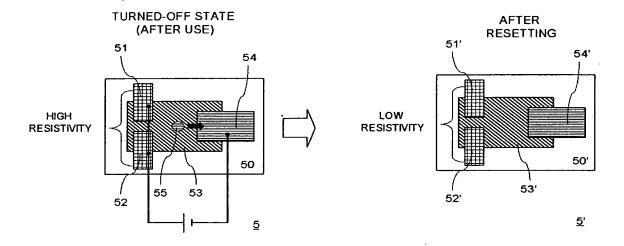
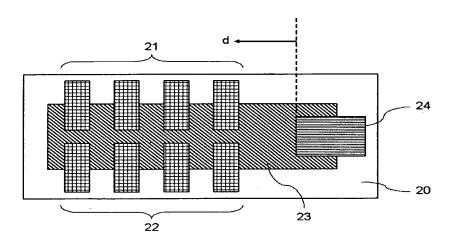


FIG. 20



ID TAG
Wataru Hattori, et al.
19931
Sheet 21 of 25

FIG. 21



<u>2</u>

FIG. 22

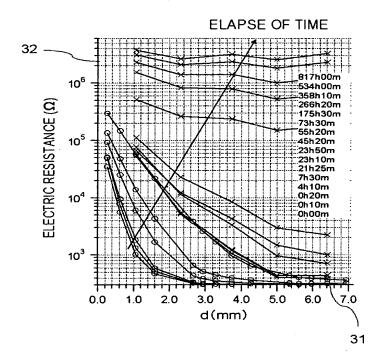


FIG. 23

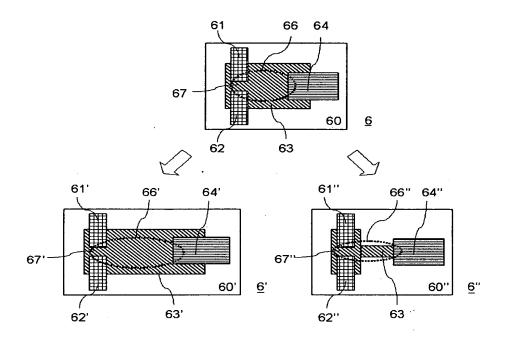
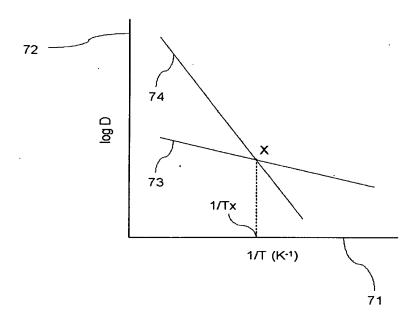


FIG. 24



<u>7</u>

FIG. 25

